

# Provozní předpoklady kondenzačních kotlů

## Operational Preconditions of Condensation Boilers

Recenzent  
 doc. Ing. Karel Brož, CSc.

*Článek popisuje podmínky potřebné pro využití kondenzačního tepla vodních par ve spalinách plynových kotlů. Je porovnán provoz nízkoteplotních kotlů a kondenzačních kotlů.*

**Klíčová slova:** vytápění, zemní plyn, nízkoteplotní kotel, kondenzační kotel, výhřevnost, spalné teplo, účinnost, stupeň využití

*The article describes the conditions necessary for the utilization of water vapors condensation heat in combustion products of natural gas boilers. The low-temperature boilers operation is compared with that of condensation boilers operation.*

**Key words:** heating, natural gas, low-temperature boiler, condensation boiler, heating value, combustion heat, efficiency, efficiency of boiler utilization.

### ÚVOD

Stále nižší potřeba energie rodinných domů na vytápění posouvá poměr ročních nákladů na energie a pořizovacích nákladů na zařízení směrem k nižším hodnotám. Čím menší je potřebný instalovaný výkon, tím méně příznivý je poměr pořizovacích nákladů. Různá dotační opatření a očekávané výrazné zdražení plynu a elektrické energie však tento trend zastaví či dokonce zvrátí.

Prioritu tak získávají úspory energie oproti dříve uvažovaným investicím do zdroje tepla. Zvýšené investice např. do kondenzační techniky se budou v rámci trendu úspor a výrazného zdražování energií umořovat ve stále kratší době.

Náklady na provoz, tj. na energie na jedné straně a pořizovací náklady na straně druhé přispěly k diferenciaci nabídky zdrojů tepla. Stále větší důraz bude kladen na hospodárnost a množství produkovaných škodlivin. K hospodárnemu provozu budeme donuceni stále se zvyšujícimi cenami energii a k omezení produkce škodlivin zase legislativními opatřeními stran ochrany životního prostředí. Optimální variantou, splňující obě podmínky, se tak jeví využití kondenzační techniky. Její použití však musí odpovídat určitým podmínkám v rámci provozních stavů tak, aby bylo využití kondenzační techniky přenosné a opodstatněné.

### OTOPNÁ KŘIVKA JAKO SPOLEČNÝ ZÁKLAD

Uvažujme, že nízkoteplotní kotle (NTK) a kondenzační kotle (KK) využívají ekvitemní regulaci a přizpůsobují tak teplotu kotlové vody provozním podmínkám podle teploty venkovního vzduchu a zároveň podle potřeby tepla ve vytápěném objektu (obr. 1).

Potřebné provozní teploty otopné soustavy lze stanovit jako funkci venkovní teploty. Grafické zobrazení této závislosti se pak prezentuje jako otopná křivka (obr. 2).

*Teplota vratné vody závisí na ochlazení vody v otopných plochách. Teplotní spád byl dříve u otopních těles volen 90/70 °C, tj. ochlazení bylo 20 K. Dnes je nejvyšší vstupní teplota do otopného tělesa 75 °C a často volený teplotní spád např. 75/60 °C nebo 70/50 °C. U podlahového vytápění se volí ochlazení 8 až 12 K a jmenovitá teplota přívodní vody je pod 50 °C.*

Jaký vliv má otopná křivka na provoz NTK a KK ukazuje obr. 2. Plochy pod otopnou křivkou představují pokryvanou potřebu tepla vždy pro interval venkovních teplot 5 K. Průměrná venkovní teplota za otopné období s uvažovanou venkovní oblastní výpočtovou teplotou  $-15^{\circ}\text{C}$  (např. Č. Budějovice) se pohybuje okolo  $+2^{\circ}\text{C}$ .

Poloha a průběh otopné křivky jsou parametry ovlivňující hospodárnost provozu kotle. Správnou volbou lze ovlivnit ztrátu kotle a u KK režim kondenzace v průběhu otopného období.

Provoz NTK a KK s měnící se teplotou kotlové vody má za následek, že kondenzát vzniká při podkrojení teploty rosného bodu vlhkosti obsažené ve spalinách, u plynových kotlů s pH hodnotou v rozmezí 3,5 až 4,5 a u kotlů na topný olej cca 2,5. U KK lze považovat vznik kondenzátu za výhřevnost energetický přínos. U NTK je třeba dbát na to, aby nevznikly díky kondenzátu žádné provozní poruchy či škody. Většinou se tak dbá u NTK na striktní vyvarování se či alespoň minimalizaci vzniku kondenzátu. U těchto kotlů se v zájmu vysoké hospodárnosti udržuje přebytek spalovacího vzduchu na co možná nejnižší úrovni.

Moderní NTK jsou tak vlastně více ohroženy než ty starší s vysokým přebytkem vzduchu. Současně působí i provozní teplota mnohdy nižší než  $40^{\circ}\text{C}$ . Jsou proto nutná taková konstrukční opatření, aby u NTK zabránila škodám z nízkoteplotní koroze, které by vznikly na teplosměnných plochách.

Využití kondenzačního tepla se dnes omezuje především na zemní plyn, neboť je zde rozdíl mezi výhřevností a spalným teplem zhruba dvojnásobný oproti oleji. Tomu rovněž odpovídá i energetický zisk a také teplota rosného bodu leží o cca 8 K výše. Zlepší se tak, resp. rozšíří prakticky využitelná oblast pro kondenzační techniku. V protikladu k NTK, musí být KK konstruován tak, aby kondenzace zdárně probíhala v co největší míře v částech kotle k tomu určených a nezapříčinila provozní poruchy.

### PODMÍNKY VZNIKU KONDENZÁTU

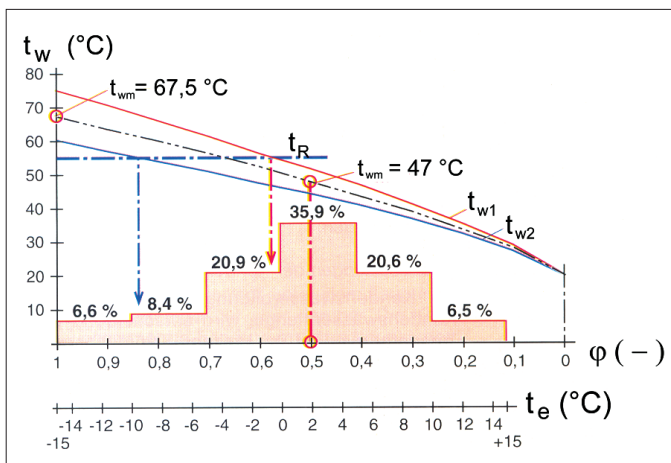
Vznik kondenzátu, resp. jeho množství je závislé na průběhu teploty ve spalinové trubce, tj. po délce teplosměnné plochy na straně spalin. Velmi dobrou představu nám poskytne termografické zobrazení teplotního profilu na obr. 3.

Rozhodujícími jsou dvě kritéria: teplota jádra spalin a povrchová teplota teplosměnné plochy. Ta jsou určena především provozními parametry kotlové vody. Teplota kotlové vody tak vytváří základní předpoklady, aby mohla kondenzovat vlhkost obsaženou ve spalinách. Podle polohy a tvaru teplotního profilu a průběhu teploty rosného bodu můžeme rozlišit tři typické provozní stavů.

První je bez kondenzace, kdy je teplota kotlové vody nad teplotou rosného bodu (obr. 4)

Druhý případ se vyznačuje částečnou kondenzací. Teplota kotlové vody je sice pod teplotou rosného bodu, ale teplota jádra spalin je nad teplotou rosného bodu. Množství kondenzátu závisí na poloze průsečku teplotního profilu vody a spalin a přímky vyznačující teplotu rosného bodu (obr. 5).

Třetí případ lze označit jako úplnou kondenzaci. Teplota jádra spalin probíhá pod teplotou rosného bodu. Kondenzace je aktivní v celém průběhu proudění spalin (obr. 6). Pro KK je přirozený co možná největší pracovní rozsah s úplnou kondenzací. U NTK je tomu naopak. U dnešního provedení NTK a s ohledem na evropskou definici minimální teploty do  $40^{\circ}\text{C}$ , není třeba se obávat ani částečné kondenzaci při odpovídajících provozních stavech. Vodní tahy kotle jsou



Obr. 1 Okrajové podmínky pro stanovení otopné křivky

OK2 – otopná křivka vratné vody

$$t'_{w2} = (t_{wm} - 20) \cdot \varphi^{\frac{1}{n}} - \frac{\varphi}{2} \cdot (t_{w1} - t_{w2}) + 20$$

OK1 – otopná křivka přívodní vody

$$t'_{w1} = (t_{wm} - 20) \cdot \varphi^{\frac{1}{n}} + \frac{\varphi}{2} \cdot (t_{w1} - t_{w2}) + 20$$

$$\varphi_e = \frac{20 - t'_e}{20 - t_e} \quad \varphi_i = \left[ \frac{t'_{wm} - 20}{t_{wm} - 20} \right]^n \quad \varphi_w = \frac{t'_{w1} - t'_{w2}}{t_{w1} - t_{w2}}$$

Q' tepelná ztráta při  $t_e$  (hodnoty s „l“ představují aktuální hodnoty, nikoli jmenovité)

Q jmenovitá tepelná ztráta

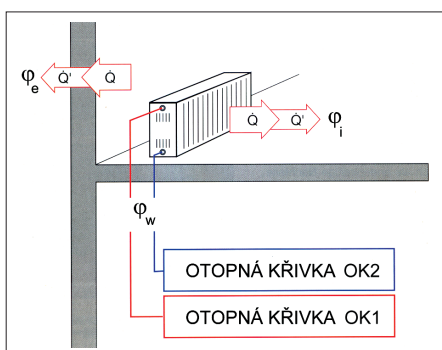
 $\varphi = Q'/Q$  stupeň vytížení $t_e$  venkovní oblastní výpočtová teplota $t_{wm}$  jmenovitá střední teplota otopné plochy $t_{w1}$  jmenovitá teplota přívodní vody $t_{w2}$  jmenovitá teplota vratné vody

n teplotní exponent otopné plochy

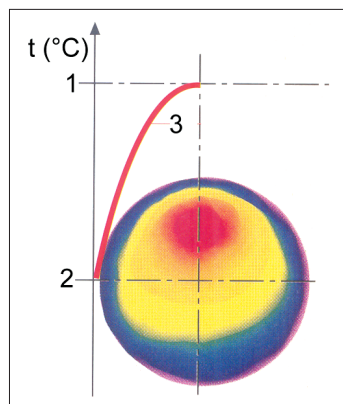
konstruovány tak, aby za běžných provozních stavů povrchová teplota teploměrné plochy na straně spalin neklesla pod teplotu rosného bodu. Na základě poznatků z praxe není ani částečná kondenzace u NTK za některých provozních stavů škodlivá, neboť je rádově nepatrná a malé množství kondenzátu se za provozu velmi rychle opět odpaří.

Optimální provozní podmínky můžeme jak pro NTK, tak pro KK nastavit prostřednictvím řízení spalovacího procesu podle spárovaných teplotních čidel – teplota jádra spalin a teplota kotlové vody.

U KK by mely být zajištěny co možná nejlepší podmínky pro úplnou kondenzaci.



Obr. 2 Průběh otopné křivky ovlivňující provozní podmínky a hospodárnost provozu zařízení

 $t_w$  teplota otopné vody $t_R$  teplota rosného bodu $t_{w1}$  teplota přívodní vody $t_{w2}$  teplota vratné vody $\varphi$  stupeň vytížení $t_e$  venkovní teplota

Obr. 3 Rozložení teplot v proudovém průřezu spalinového tahu (trubky)

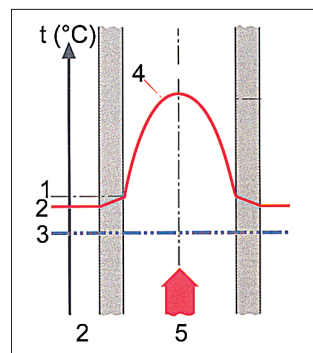
t teplota

1 jádro proudu spalin

2 stěna

3 teplotní profil v proudovém průřezu spalinového tahu

5 spaliny



Obr. 4 Průběh teplot bez kondenzace

t teplota

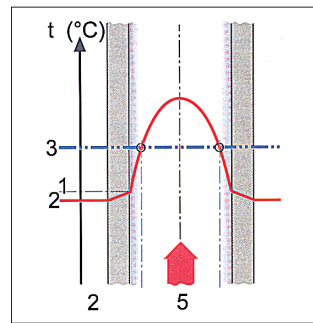
1 stěna

2 voda

3 teplota rosného bodu

4 teplotní profil v proudovém průřezu spalinového tahu

5 spaliny

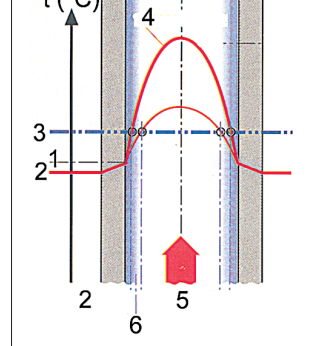


Obr. 5 Průběh teplot při částečné kondenzaci (legenda viz obr. 4)

Modře vybarvené části na obr. 9 ukazují průřez, resp. část průřezu po délce teploměrné plochy, kde probíhá kondenzace. Červeně vybarvené části vyznačují oblast s vyšší teplotou spalin než je teplota rosného bodu, tj. většinou jádro spalin.

Z obr. 9 je patrné, že i při teplotě přívodní vody do otopné soustavy 40 °C, tedy hluboce pod teplotou rosného bodu, nedochází v přední části vedení spalin k žádné kondenzaci, neboť se teplota jádra spalin pohybuje od 300 do 700 °C. Rovněž tak i ve střední oblasti, kde je teplota jádra spalin 200 až 300 °C dochází jen k minimální kondenzaci. Teprve na posledních 20 až 25 % teploměrné plochy dochází ke kondenzaci. Tudíž lze říci, že teplota přívodní vody do otopné soustavy nehráje z hlediska kondenzace téměř žádnou roli. Stejně tak velikost zvýšení teploty přívodní vody nad teplotu rosného bodu nestojí za zmínu z hlediska teplotních poměrů na konci vedení spalin v kotli.

Obr. 6 Průběh teplot při úplné kondenzaci (legenda viz obr. 4)

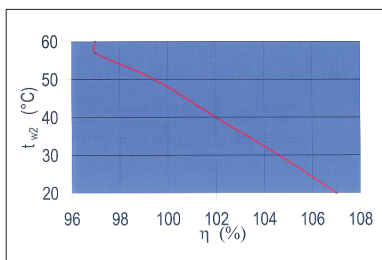


Obr. 7 Změna průběhu teploty spalin způsobená optimalizací povrchu teploměrné plochy

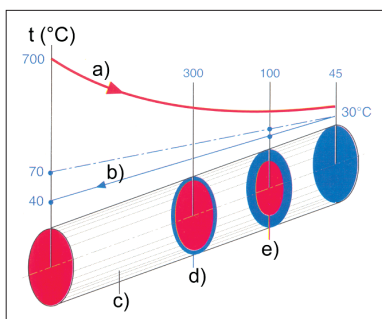
6 tloušťka kondenzační vrstvy  
(ostatní legenda viz obr. 4)

## ZÁVĚR

Efektivita vytápění KK je dána teplotou jádra spalin v oblasti přívodu vratné



Obr. 8 Závislost účinnosti na teplotě vratné vody u běžného KK  
 $t_{w2}$  teplota vratné vody ze soustavy (zpátečka)  
 $\eta$  účinnost KK vztahovaná k výhřevnosti



Obr. 9 Schématické znázornění protiproudí spalin a kotlové vody, resp. nabíhající vratné vody o teplotě 30 °C

- $t$  teplota
- a) průběh teploty spalin
- b) průběh teploty kotlové vody
- c) spalinová trubka
- d) kondenzační zóna
- e) teplota jádra spalin

hřevnosti, což u KK vede k hodnotě vyšší než 100 %. Je zřejmé, že výhřevnost u KK již nedává vhodné měřítko. Přechod z výhřevnosti na spalinové teploty dělá situaci jasnější. Přepočtovou veličinou je pak podíl spalinového tepla a výhřevnosti, který je pro zemní plyn cca 1,114. Použijeme-li oproti zvyklostem u KK spalinové teploty namísto výhřevnosti, dostaneme účinnost menší než 100 %, což je fyzikálně v pořádku a zde to činí cca 96 %. Při výpočtu potřeby tepla bychom měli za účinnost kotle  $\eta_K$  dosazovat hodnotu převedenou na spalinové teploty.

Zkusme učinit zjednodušenou úvahu, kdy teoretická potřeba tepla, vypočtená denostupňovou metodou bude 100 GJ. Pro zjednodušení se úmyslně dopustíme nepřesnosti a uvažujme účinnost obsluhy  $\eta_O = 1$  a rozvodu  $\eta_R = 1$ . Nyní se podívejme, jak vyjde potřeba tepla z jmenovité hodnoty účinnosti KK, tj.  $\eta_K = 107 \% \rightarrow 96 \%$  a jak vyjde z částečně modifikované hodnoty podle průběhu z obr. 10.

Pro maximální účinnost je potřeba tepla

$$Q = \frac{Q_N}{\eta_K \cdot \eta_O \cdot \eta_R} = \frac{100}{0,96 \cdot 1 \cdot 1} = 104 \text{ GJ}$$

Pro částečnou modifikaci (skutečné trvání kondenzace) uvažujme:

$$\begin{aligned} 42 \% &\rightarrow Q_{N42} = 42 \text{ GJ} & \rightarrow \eta_K = 107 \% \rightarrow 96 \% \\ 53 \% &\rightarrow Q_{N53} = 53 \text{ GJ} & \rightarrow \eta_K = 100 \% \rightarrow 90 \% \\ 5 \% &\rightarrow Q_{N5} = 5 \text{ GJ} & \rightarrow \eta_K = 97 \% \rightarrow 87 \% \end{aligned}$$

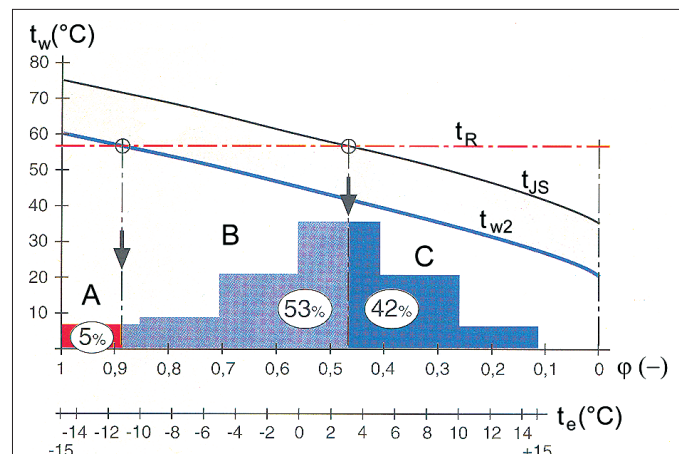
$$Q = \frac{Q_{N42}}{\eta_{K42} \cdot \eta_O \cdot \eta_R} + \frac{Q_{N53}}{\eta_{K53} \cdot \eta_O \cdot \eta_R} + \frac{Q_{N5}}{\eta_{K5} \cdot \eta_O \cdot \eta_R} = 108 \text{ GJ}$$

Vyšší hodnota potřeby tepla za oporné období cca o 4 % se jeví reálnější, neboť nezajistíme v průběhu celého oporného období úplný režim kondenzace,

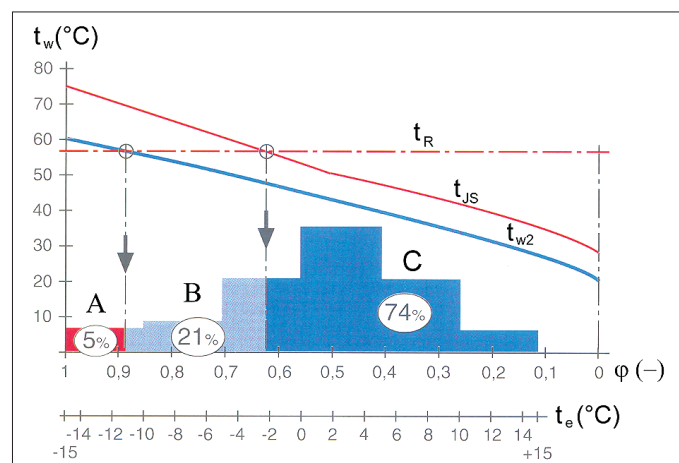
vody. Naproti tomu má teplota přívodní vody menší vliv. Pro různé teplotní režimy KK lze, na základě znalosti teploty vratné vody, stanovit tři charakteristické fáze: bez kondenzace, s částečnou kondenzací a s úplnou kondenzací s odpovídajícím podílem získaného tepla. Obr. 10 platí pro velmi často projektovanou teplotu vratné vody 60 °C (porovnejte s obr. 2).

Teplota jádra spalin zde probíhá téměř rovnoběžně s teplotou vratné vody, je však posunuta o 15 K nahoru. Jako efektivní se jeví snížení teploty spalin při částečném vytížení, kdy se dostaneme do fáze úplné kondenzace. Na obr. 11 je patrné, že se 50 % vytížení kotle při venkovní teplotě 20 °C posune do oblasti úplné kondenzace. Průsečík teploty rosného bodu a teploty jádra spalin se přesouvá doleva a podíl tepla získaného při úplné kondenzaci vzroste na 74 %. Za těchto podmínek lze dosáhnout normovaný stupeň využití cca 107 %.

Stupeň využití, či účinnost, se valnou většinou vztahují k výhřevnosti, což u KK vede k hodnotě vyšší než 100 %. Je zřejmé, že výhřevnost u KK již nedává vhodné měřítko. Přechod z výhřevnosti na spalinové teploty dělá situaci jasnější. Přepočtovou veličinou je pak podíl spalinového tepla a výhřevnosti, který je pro zemní plyn cca 1,114. Použijeme-li oproti zvyklostem u KK spalinové teploty namísto výhřevnosti, dostaneme účinnost menší než 100 %, což je fyzikálně v pořádku a zde to činí cca 96 %. Při výpočtu potřeby tepla bychom měli za účinnost kotle  $\eta_K$  dosazovat hodnotu převedenou na spalinové teploty.



Obr. 10 Zobrazení odevzdáного тепла для випарювання при використанні одноступінчастого пальника  
A – без конденсації,  $t_{w2} > t_R$   
B – частковою конденсацією,  $t_{w2} < t_R; t_{JS} > t_R$   
C – повною конденсацією,  $t_{w2} < t_R; t_{JS} < t_R$   
 $t_w$  – температура води  
 $t_R$  – температура розчинного тіла  
 $t_{JS}$  – температура ядра спалювача  
 $t_{w2}$  – температура повернутої води (зпід)  
 $t_e$  – відповідна температура  
 $\varphi$  – ступінь витіщення



Obr. 11 Zobrazení odevzdáного тепла для випарювання при використанні модуляційного пальника  
(легенда як у обр. 10)

tj. nezískáme všechno kondenzační teplo vlhkosti obsažené ve spalinách. Můžeme objektivně namítat, že přibližný výpočet byl proveden pro hodnoty z obr. 10, tj. především pro jmenovitou teplotu vratné vody 60 °C. U projektované nižší teploty vratné vody pod teplotou rosného bodu, bychom dostali lepší výsledek. Nezapomínejme však, že i když bude projektovaná teplota vratné vody nižší než je teplota rosného bodu, ani tehdy nemusí docházet k úplné kondenzaci a nevyužijeme celé latentní teplo. Je to závislé ještě na mnoha projekčních i provozních parametrech, jako je použití beztlakového nebo termohydraulického rozdělovače, přepouštění, řazení spotřebitelských okruhů na rozdělovači atd.

#### Použité zdroje:

- [1] Buderus Heiztechnik: *Handbuch für Heizungstechnik*. Beuth Verlag GmbH. Berlin 2002. ISBN 3-410-15283-0
- [2] Bašta, J.: Hydraulika a řízení otopných soustav. Praha: *Ediční středisko ČVUT*, 2003. – 252 s., 209 obr., ISBN 80-01-02808-9.
- [3] Bašta, J.: Od účinnosti ke stupni využití. In: *Vytápění, větrání, instalace*. 8, č. 1/1999, s. 24–28
- [4] Bašta, J.: Četnost sepnutí hořáku kotle a velikost spínací diference. In: *VVI*, 2001, roč. 10, č. 1, s. 6–12.